

河川弯曲部における洗掘機構に関する研究

京都大学防災研究所 正員 芦田和男
京都大学大学院 ○学生員 坂本忠彦

河川弯曲部における洗掘現象は、河川の蛇行の発達過程を把握し、合理的な河道計画をたてる上で極めて重要な役割をなしている。しかし弯曲部における流れの内部機構は三次元的であり、洗掘河床は二次元的な取り扱いを必要とするため、これまでまだ充分な研究方向さえ確立されていないといえよう。本研究では弯曲部の洗掘機構を解明するための第一段階として、Preston tubeによるせん断応力の測定の信頼度の検討、初期の河床変化とせん断応力との比較、洗掘の進行過程について検討を行なった。

1. 固定床弯曲水路におけるせん断応力の測定；実験水路は幅50cm、深さ30cmの矩形断面のコンクリート製水路($n=0.03$, $i=1/200$)であつて、上流側直線部10m、下流側直線部11m、中心曲率半径75cmの180°弯曲部からなる。せん断応力の測定には、外径0.60cmのPreston tube および30°傾斜マニホールドを使用した。流量5~20%の範囲で5ケースについて横断方向に7点、縦断方向には直線部20cm、弯曲部10°間隔に水位、せん断応力を測定した。

(1) Preston tubeの特性；路床のせん断応力(τ_0)とPreston tubeに作用する動圧(AP)との関係式としては、壁面付近の流速分布を仮定することにより、各種の式が提案されている。本実験では $\frac{\tau_0}{AP} = 5.5 \log \frac{4D}{D} + 5.45$ を仮定することにより導かれ、管路による検定実験から±1%の精度が保証されている式⁽¹⁾を用いた。

$$\frac{\tau_0}{AP} = \frac{y^*}{d} + 2 \log(1.95 \frac{y^*}{d} + 4.10) \quad \dots (1) \quad \therefore \frac{\tau_0}{AP} = \log \left(\frac{7ad^2}{4pd^2} \right), \quad y^* = \log \left(\frac{7ad^2}{4pd^2} \right) \quad 110 < \frac{4ad}{D} < 1600$$

d ；Preston tubeの外径である。この式は流速分布の仮定がなり立つ限り、十分な精度で信頼でき、等流状態での検定において良好な結果を得た。しかし、弯曲流のように、二次流が卓越し、流速分布の特性が仮定と異なると予想される場合には、 τ_0 の評価、およびPreston tubeの方向特性が問題となる。外径1mmのピトー管により測定した壁面付近の流速分布はFig.1のようである。44は(1)式から求めた7.5より $\tau_0 = \rho U_{\max}^2 / 4$ にて計算した。上流直線部では、底面付近(Preston tube)の設置範囲内)で仮定した流速分布式にはば一一致し、せん断応力、44は正しい値を示すことが考えられる。

弯曲部では、流速分布が一様化する傾向を示し、(1)式の適用性が疑問となる。このように弯曲水路では、流下方向に、流速分布の特性が変化するので、せん断応力の絶対値の縦断分布を論することは難しく、以後では横断分布についてのみ、検討する。今後二次元の圧力分布を受けた弯曲部の流速分布を検討することにより、せん断応力の評価の信頼度を高める必要がある。一方直線流においてPreston tubeの方向特性を調べた結果をFig.2に示してある。 $\pm 15^\circ$ の方向変化に対しても $\frac{AP}{AP_{max}}$ の最大値はほぼ一定しており、本実験範囲では弯曲部においても接線方向に設置して使用できることが確認された。

(2)せん断応力の分布；流量5.5%のケースでせん断応力の横断方向の分布を 0° , 90° , 180° ,

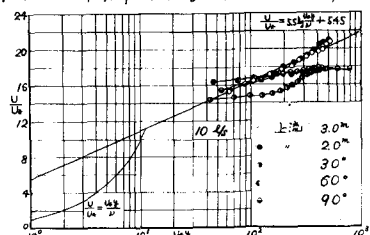


Fig.1. 壁面付近の流速分布

下流 0.5^m の代表断面について示すとFig.3のようになる。基準せん
断応力は上流 $14\sim3^m$ の平均値であり、 $T_0\text{mean}=0.01145 \text{ gr/cm}^2$ である。
弯曲部入口 0° においては、内壁側が大きく、 90° 付近で著しく一様化されていくことがわかる。弯曲部終端 180° においてもほぼ一様な分布を示し、下流側 0.5^m においては外壁側に著しくせん断応力
の大きな部分があらわれている。なお各流量段階における分布形
には、顕著な差違がみられなかった。

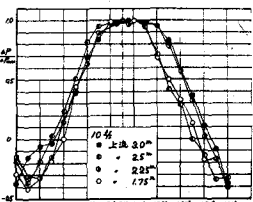
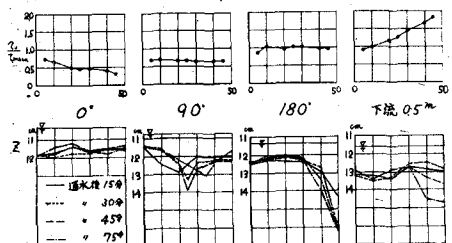


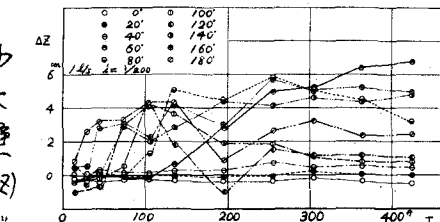
Fig. 2 Preston take off
方向特性

2. 級動床における実験；上述の実験水路に $d_{50}=0.65\text{ mm}$, $\delta=2.65$ の砂を $i=1/200$ K數で流量 145 l/s を通水した。測定時間はせん断応力分布との対応および洗掘の進行過程を詳細に検討するため、初期15分、極限状態近くまで60分とした。
 合計425分、11段階の水位、河床高さおよび下流端の
 流砂量を測定した。水位、河床高の測定断面はせん
 断応力の測定点と同じである。



(1)初期の河床変化とせん断応力分布との比較；
 図3下図に初期段階(15分～45分)における横断方向
 の河床高の変化が示されている。各断面のせん断
 応力の分布と河床高はかなり異なった変化を示し
 て、 $0.5m$ 外壁付近より 180° 付近の洗掘が先行してい
 る。個所はせん断応力の最大値の位置より外壁に偏る
 大小だけではなく二次流によるせん断応力の方向の
 ものである。

(2)洗掘の進行過程；図9にみるよろK，一般に弯曲部では内壁付近では安定形状に早く達し，最終形状に致る時間は外壁付近の形状によつて決る。図9は外壁 $r=100\text{ cm}$ における初期河床高と各時間の河床高との差(△z)の時間的変化をみたものである。通水後100分前後では，最大洗掘の場所は 180° 付近に起り，以後時間と共に，だいぶ洗掘が進行し300分前後にほぼ定常状態に落ちる。その時は 60° 付近に最大洗掘の場所があらわれるこゝを示してて弯曲部における洗掘の進行過程を良くあらわしている。外壁付近に生ずる洗掘の典型的な形状を示すと図5のよろKなる。すなへて初期に 180° 付近に現われた洗掘個所は時間と共に上流側に広がり(75分)，分裂して(105分)，二個所に洗以上本研究には移動床における1実験例について検討，曲率半径 150 cm の弯曲水路における実験式計算しておである。参考文献(1)J. Fluid Mech. 1965, Vol. 23, D. C. Patel. Calibration of



第4 12の時間の変化

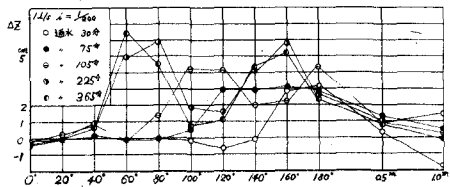


Fig.5 18 の場所の変化

て定常状態に落着く。
既往の流量、河床、分配結果は講演時に述べた不^定
le and limitations on its use in
pressure gradients.